



University of Kurdistan

Journal of Environmental Research in Mountainous Regions

Summer 2025, Vol 1, Issue 2

Home page: <https://ermr.uok.ac.ir>



Research Paper

Assessing the Vulnerability of Rural Areas Against Natural Hazards (Case Study: Villages of Oraman Region)

Hamid Ganjaean^{*}, Mozhghan Nosrati^b, Atrin Ebrahimi^c, Saeid Saedi Ghisarian^d

^a PhD, Department of Geomorphology, Faculty of Geography, University of Tehran, Tehran, Iran

^b M.A, Department of Geomorphology, Faculty of Natural Resources, University of Kurdistan, Sanandaj, Iran

^c PhD, Department of Geomorphology, Faculty of Planning and Environmental Sciences, University of Tabriz, Tabriz, Iran

^d B.A, Department of Environment, Faculty of Natural Resources and Environment, Malayer University, Malayer, Iran

ARTICLE INFO

Received: 2025/02/18

Accepted: 2025/04/07

PP: 57-70

Use your device to scan and
read the article online



Abstract

Natural hazards are one of the most important challenges for the advancement of mountain areas. One of the areas exposed to natural hazards is the Oraman region in the west of the country. Considering the importance of the subject, in this research, the vulnerability of the villages of Oraman region to natural hazards has been evaluated. Descriptive-analytical methods have been used in this research. The most important research data were the digital model of 30 meters high STRM, the digital layer of 1:100000 geological maps of the area and the information layers related to the used parameters. The most important used tools were ArcGIS and Expert Choice. Fuzzy-AHP integrated model is also used in this research. In this study, the vulnerable areas against landslides, floods and earthquakes have been identified first, and then a map of the region's risk status has been prepared. The results of this study have shown that the central areas of Oraman (including the villages of Bargharo, Nayabad, Degagah, Maziben, Nasl and Boridar) have high vulnerability potential in terms of all three hazards (landslides, earthquakes, and floods). More findings show, it can be said that the Oraman region has a high vulnerability potential against natural hazards, so it is necessary to consider factors such as the stability of buildings against earthquakes in the development planning of this region, Determining the boundaries of rivers and preventing settlements from advancing towards them in flood-prone areas, as well as the potential for slope movement.

Keywords: Natural
hazards, Mountainous
territory, Rural areas,
Oraman region.

Citation: Ganjaean, H., Nosrati, M., Ebrahimi, A & Ghisarian, S. S. (2025). Assessing the Vulnerability of Rural Areas Against Natural Hazards (Case Study: Villages of Oraman Region), *Journal of Environmental Research in Mountainous Regions*, 1(2), 57-70.

DOI: <https://doi.org/10.22034/ermr.2024.63510>



© The Author(s).

Publisher: University of Kurdistan

* Corresponding author: Hamid Ganjaean, Email: h.ganjaean@ut.ac.ir

Extended Abstract

Introduction

In recent years, under the influence of the increasing trend of population, residential and man-made areas have been associated with a lot of growth, and considering that in many areas, the environmental strength of the region has not been paid attention to, the development of these uses increases the possibility of Risks have become normal. Based on this, the increase and intensity of some natural hazardous events are under the direct influence of human activities. The surveys conducted on natural hazards indicate that these hazards are on the rise and millions of people around the world are exposed to them. The vulnerability of residential areas to natural hazards is influenced by various geomorphological, geological and hydroclimatic factors, and each area may be exposed to one or more types of hazards. One of the areas that are exposed to several types of natural hazards is the Oraman region in the west of the country. The location of the Oraman region in the Zagros Mountain unit has caused a large part of this region to be included in the mountain unit and considering that the Oraman mountains have significant snowfall and also considering the proximity to the main fault lines and the tectonic nature of the area. This area is exposed to the dangers of earthquakes, landslides and floods. Considering the importance of the subject, in this research, the vulnerability of the villages of Oraman region to natural hazards has been evaluated.

Methodology

Descriptive-analytical methods have been used in this research. The most important research data were the digital model of 30 meters high STRM, the digital layer of 1:100000 geological maps of the area and the information layers related to the used parameters. The most important tools used were ArcGIS (executing the Fuzzy-AHP model and preparing the desired maps) and Expert Choice (weighting the desired parameters). Fuzzy-AHP integrated model is also used in this research. According to the subject and objectives, this research has been done in 4 general stages. In the first stage, by using 8 parameters of height, slope, direction of slope, distance from the river, distance from the communication road, type of land use, lithology and distance from the fault, vulnerable

areas against slope movements have been identified. In the second stage, by using 6 parameters of slope, slope direction, height, distance from the river, land use and lithology, vulnerable areas against floods have been identified. In the third stage, by using 4 parameters of distance from the fault, distance from earthquake epicenters, lithology and slope, vulnerable areas against earthquakes have been identified. In the fourth stage, based on the results obtained from the previous stages, the hazard map of Oraman region has been prepared.

Results and Discussion

Examining the geomorphology and geology of the region shows that this region has a high potential for the occurrence of hazards caused by slope movements, floods and earthquakes. The results of the identification of areas prone to landslides have shown that many parts of the area are prone to landslides, the main reason of which can be considered the existence of steep slopes and undercuts caused by the river and communication road. The results of the evaluation of the region's vulnerability to flood risk have shown that considering that a large part of the studied area is located in the mountain unit, therefore only a few parts of the area that are located near the river and at low altitudes are in They are at risk of flooding. Also, due to the fact that a large part of the studied area is located in the vicinity of fault lines and earthquake epicenters, and also due to the mountainous nature of the area, this logic has a high vulnerability potential against earthquakes.

Conclusion

The natural condition of Oraman region has caused this region to have a high-risk potential. Investigations have shown that in recent years, this area has been faced with various hazards such as landslides, floods, and earthquakes, and this is the reason for investigating these hazards in this area. The results of this research have shown that the central areas of Oraman, including the villages of Bargharo, Nayabad, Degagah, Maziben, Nasl and Boridar, because they have the potential of damage in terms of all three hazards (landslides, earthquakes and floods). They are highly adaptable; they are considered as the most vulnerable villages in Oraman region. According to the obtained

results, it can be said that the Oraman region has a high vulnerability potential against natural hazards, so it is necessary to consider factors such as the stability of buildings against earthquakes in the development planning of this region. Special attention should be paid to rivers

and preventing settlements from moving towards them in flood-prone areas, as well as the potential of slopes.

Financial sponsor

According to the responsible author, this article has no financial sponsor.

Contribution of the authors to the research

The first author: Scientific supervision of all research stages, data analysis, and final writing of the article.

Second author: Collecting library resources, data entry, and map drawing.

Third author: Conducting spatial and locational analyses using specialized software, preparing and

interpreting charts and tables, and developing the theoretical framework of the research.

fourth author: Collecting field data and contributing to the final analysis of findings.

Conflict of interest

The authors declare that they have no conflict of interest in writing or publishing this article.

Appreciation and thanks

The authors sincerely thank all the people who have cooperated with them in collecting field data.



نشریه علمی پژوهش های محیطی در قلمرو های کوهستانی



دانشگاه کردستان

دوره ۱، شماره ۲، تابستان ۱۴۰۴

Home page: <https://ermr.uok.ac.ir>

مقاله پژوهشی

ارزیابی وضعیت آسیب‌پذیری روستاهای مناطق کوهستانی در برابر مخاطرات طبیعی (مطالعه موردی: روستاهای منطقه اورامان)

حمید گنجائیان^{*} ID : دکترا، گروه ژئومورفولوژی، دانشکده جغرافیا، دانشگاه تهران، تهران، ایران

مهرگان نصرتی: کارشناس ارشد، گروه ژئومورفولوژی، دانشکده منابع طبیعی، دانشگاه کردستان، سندج، ایران

عطربن ابراهیمی: دکترا، گروه ژئومورفولوژی، دانشکده برنامه‌ریزی و علوم محیطی، دانشگاه تبریز، تبریز، ایران

سیدسعده قیصریان: کارشناس، گروه محیط زیست، دانشکده منابع طبیعی و محیط‌زیست، دانشگاه ملایر، ملایر، ایران

چکیده	اطلاعات مقاله
مخاطرات طبیعی یکی از مهم‌ترین چالش‌های پیش‌روی مناطق کوهستان محسوب می‌شوند. از جمله مناطقی که در معرض مخاطرات طبیعی قرار دارد، منطقه اورامان در غرب کشور است. با توجه به اهمیت موضوع، در این پژوهش به ارزیابی وضعیت آسیب‌پذیری روستاهای منطقه اورامان در برابر مخاطرات طبیعی پرداخته شده است. در این تحقیق از روش‌های توصیفی-تحلیلی استفاده شده است. مهم‌ترین داده‌های تحقیق مدل رقومی ارتفاع ۳۰ متر STRM لایه رقومی نقشه‌های زمین‌شناسی ۱:۱۰۰۰۰۰۰ منطقه و لایه‌های اطلاعاتی مربوط به پارامترهای مورد استفاده بوده است. مهم‌ترین ابزارهای مورد استفاده، ArcGIS و Expert Choice است. همچنین در این تحقیق از مدل تلفیقی Fuzzy-AHP استفاده شده است. در این تحقیق ابتدا به شناسایی مناطق آسیب‌پذیر در برابر مخاطرات زمین‌لغزش، سیلاب و زمین‌لرزه پرداخته شده است و سپس نقشه وضعیت مخاطره‌پذیری منطقه تهیه شده است. نتایج پژوهش نشان داد مناطق مرکزی محدوده اورامان از جمله روستاهای برقو، نی‌آباد، دگاگاه، ماضی‌بن، نسل و بوری در به دلیل اینکه از نظر هر سه مخاطره (زمین‌لغزش، زمین‌لرزه و سیلاب) دارای پتانسیل آسیب‌پذیری بالایی هستند، به عنوان مخاطره‌پذیرترین روستاهای منطقه اورامان محسوب می‌شوند. با توجه به نتایج حاصله می‌توان گفت که منطقه اورامان دارای پتانسیل آسیب‌پذیری بالایی در برابر مخاطرات طبیعی است، بنابراین ضروری است تا در برنامه‌ریزی‌های توسعه‌ای این منطقه، به عواملی همچون استحکام ساختمانها در برابر زمین‌لرزه، تعیین حریم رودخانه‌ها و جلوگیری از پیشروی سکونتگاه‌ها به سمت آن‌ها در مناطق سیل‌بیز و همچنین پتانسیل حرکت دامنه‌ها توجه ویژه‌ای شود.	تاریخ دریافت: ۱۴۰۳/۱۱/۳۰ تاریخ پذیرش: ۱۴۰۴/۰۱/۱۸ شماره صفحات: ۵۷-۷۰
	از دستگاه خود برای اسکن و خواندن مقاله به صورت آنلاین استفاده کنید
	واژه‌های کلیدی: مخاطرات طبیعی، قلمرو کوهستانی، نواحی روستایی، منطقه اورامان.

استناد: گنجائیان، حمید؛ نصرتی، مژگان؛ ابراهیمی، عطربن و قیصریان، سیدسعده (۱۴۰۴). ارزیابی وضعیت آسیب‌پذیری روستاهای مناطق کوهستانی در برابر مخاطرات طبیعی (مطالعه موردی: روستاهای منطقه اورامان)، نشریه علمی پژوهش‌های محیطی در قلمروهای کوهستانی، ۷۰-۵۷، (۲).

DOI: <https://doi.org/10.22034/ermr.2024.63510>

ناشر: دانشگاه کردستان



مقدمه

مخاطرات می‌تواند منشأ طبیعی و یا انسانی داشته باشد و مناطق مختلف با توجه به موقعیت جغرافیایی و اوضاع سیاسی، اقتصادی و اجتماعی، پتانسیل‌های مختلفی در زمینه وقوع انواع مخاطرات دارند (فن و ما^۱؛ کیو^۲ و همکاران، ۲۰۲۴؛ رنجبر و بیات، ۱۳۸۹؛ سالاری و همکاران، ۱۳۹۶؛ نگهبان و همکاران، ۱۳۹۸). کشور ایران با توجه به موقعیت جغرافیایی که دارد، پتانسیل بالایی در زمینه مخاطرات و خصوصاً مخاطرات طبیعی دارد. مخاطرت طبیعی هرساله در ایران سبب وارد آوردن خسارات جانی و مالی زیادی می‌شود که این مسئله در کند شدن روند توسعه کشور بسیار اثرگذار است (اوپلیویرا و همکاران، ۲۰۰۶؛ بین^۳ و همکاران، ۲۰۲۳؛ محمدخان و همکاران، ۱۳۹۸). مناطق مختلف ایران و خصوصاً نواحی روستایی آن، پتانسیل‌های متفاوتی در زمینه انواع مخاطرات دارند که ضروری است در برنامه‌های مختلف، خصوصاً برنامه‌ریزی‌های عمرانی به این مسئله مهم توجه ویژه‌ای شود (لی و همکاران، ۲۰۱۵؛ نیری و همکاران، ۱۳۹۷). بررسی مخاطرات رخداده در نواحی روستایی ایران بیانگر این است که مخاطرات طبیعی و خصوصاً مخاطرات ژئومورفولوژیک، بیشترین اثر را در نواحی کوهستانی داشته است، بر این اساس سکونتگاه‌هایی که در مناطق کوهستانی قرار دارند، دارای پتانسیل آسیب‌پذیری بیشتری در برابر مخاطرات طبیعی هستند (گنجائیان، ۱۳۹۹).

در طی سال‌های اخیر تحت تاثیر روند افزایشی جمعیت، نواحی سکونتگاهی و انسان‌ساخت با رشد زیادی همراه بوده‌اند (کومار^۴ و همکاران، ۲۰۲۵؛ نیری و همکاران، ۱۳۹۶) و با توجه به اینکه در بسیاری از مناطق به توان محیطی منطقه توجه نشده است، توسعه این کاربری‌ها سبب افزایش احتمال بروز مخاطرات طبیعی شده است. بر این اساس، افزایش و شدت برخی رویدادهای مخاطره‌آمیز طبیعی تحت تاثیر مستقیم فعالیت‌های انسانی می‌باشد (وانگ^۵ و همکاران، ۲۰۱۲).

بررسی‌های صورت گرفته در مورد مخاطرات طبیعی بیانگر این است که این مخاطرات دارای روند افزایشی هستند (چینی و همکاران، ۲۰۱۹) و میلیون‌ها نفر از مردم در سراسر دنیا در معرض آن قرار دارند (برونفمان^۶ و همکاران، ۲۰۱۹). میزان آسیب‌پذیری نواحی سکونتگاهی در برابر مخاطرات طبیعی تحت تاثیر عوامل مختلف ژئومورفولوژی، زمین‌شناسی و هیدرولوژیکی قرار دارد (نگهبان و همکاران، ۱۴۰۰؛ نصرتی و همکاران، ۱۴۰۱) و هر منطقه ممکن است در معرض یک و یا چند نوع مخاطره باشد (کیمورا و یاماگوچی، ۲۰۱۰). از جمله منطقی که در معرض چند نوع مخاطره طبیعی قرار دارد، منطقه اورامان در غرب کشور است. قرار گرفتن منطقه اورامان در واحد کوهستانی زاگرس سبب شده است تا بخشی زیادی از این منطقه را واحد کوهستان دربرگیرد و با توجه به اینکه کوهستان‌های اورامان دارای بارش برف قابل توجهی هستند و همچنین با توجه به نزدیکی به خطوط گسل اصلی و تکتونیزه بودن منطقه، این منطقه در معرض مخاطرات زمین‌لرزه، زمین‌لغزش و سیلاب قرار دارد. با توجه به اهمیت موضوع، در این پژوهش به ارزیابی وضعیت آسیب‌پذیری روستاهای منطقه اورامان در برابر مخاطرات طبیعی پرداخته شده است.

مرور ادبیات و سوابق پژوهش

در ارتباط با موضوع مورد مطالعه، پژوهش‌های مختلفی در سطح ایران و جهان صورت گرفته است که از جمله آن‌ها می‌توان به پنگ^۷ (۲۰۱۲) و همکاران اشاره کرد که به شناسایی مناطق آسیب‌پذیر در برابر مخاطرات طبیعی در چین پرداخته است. خاتاک و همکاران (۲۰۱۶) مناطق در معرض آسیب‌پذیری در مجاورت رودخانه کابل را شناسایی کرده‌اند. نشان دادند که حدود ۴۰ درصد از منطقه مورد مطالعه، دارای پتانسیل سیل خیزی بالایی است. هریال^۸ و همکاران (۲۰۱۷) به ارزیابی میزان آسیب‌پذیری استان یوگیاکارتا^۹ در برابر مخاطرات طبیعی پرداختند و نشان دادند که مهم‌ترین راهکار کنترل آن استفاده از راهکارهای سازه‌ای می‌باشد.

آبای و همکاران (۲۰۱۹) با استفاده از مدل AHP به شناسایی مناطق آسیب‌پذیر در برابر مخاطره زمین‌لغزش در اتیوپی پرداختند. نتایج این تحقیق نشان داده است که شبیب و لیتولوژی، مهم‌ترین عامل تاثیرگذاری در وقوع زمین‌لغزش‌های منطقه است. الجزوی و همکاران (۲۰۱۹) با استفاده از مدل AHP به پتانسیل سنجی مخاطره زمین‌لغزش در مراکش پرداختند. نتایج این مطالعه نشان داده است که دره‌های رودخانه‌ای و زمین‌های شبیبدار دارای بالاترین پتانسیل آسیب‌پذیری هستند. امیریان و همکاران (۱۳۹۹) به پهنه‌بندی حریم اینمنی و آسیب‌پذیری در

1 . Fan & Ma

2 . Qi

3 . Beyene

4 . Kumar

5 . Wang

6 . Bronfman

7 . Peng

8 . Herryal

9 . Yogyakarta

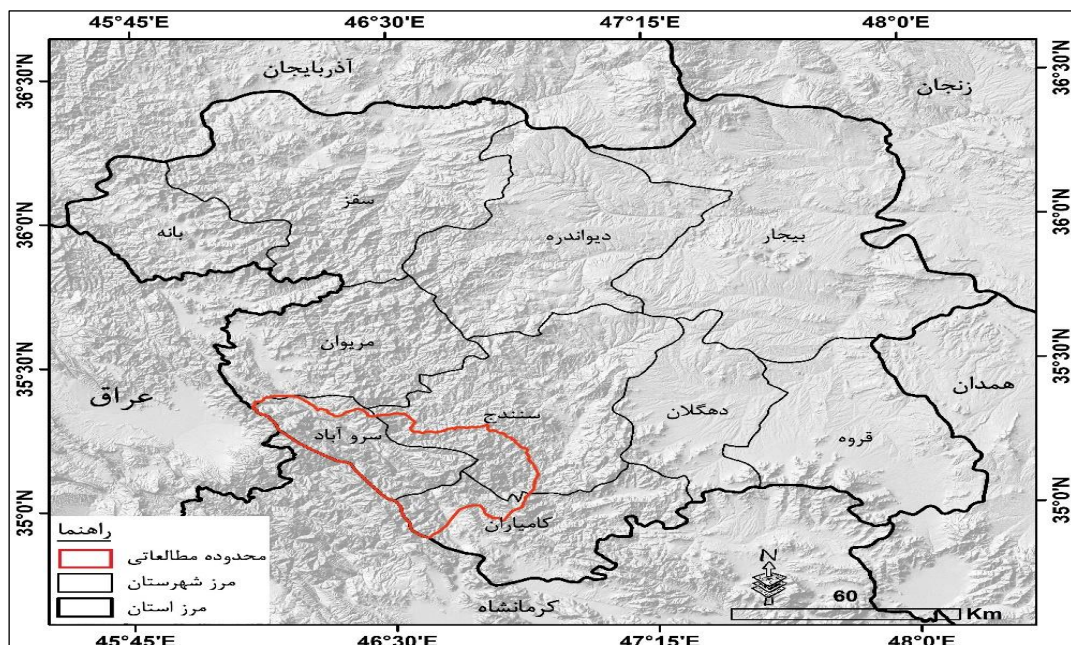
شهر اهواز از منظر پدافتند غیرعامل پرداختند. نتایج این پژوهش نشان داده است حدود ۳۰ درصد از محدوده مطالعاتی دارای پتانسیل آسیب-پذیری خیلی زیادی است. آتش‌افروز و صفائی‌پور (۱۴۰۰) به ریز پهنه‌بندی زمین‌لغزش در بخش دهدز استان خوزستان پرداختند. نتایج این مطالعه نشان داده است که بیش از ۳۰ درصد از محدوده در پهنه‌بندی آسیب‌پذیری زیاد قرار دارد. جغرافی و خدایی (۱۴۰۲) به پهنه‌بندی سطوح ارضی حوضه شاهرود در مقابل وقوع زمین‌لغزش به استفاده از مدل شانون پرداختند. نتایج این پژوهش تحقیق نشان داده است که حدود ۸۰ درصد از وسعت حوضه را مناطق آسیب‌پذیر در برابر زمین‌لغزش تشکیل داده است. لجم‌اورک و پیری (۱۴۰۲) به پهنه‌بندی خطر وقوع زمین‌لغزش در شهرستان باغمک پرداختند. در این تحقیق از مدل تلفیقی Fuzzy-AHP استفاده شده است. نتایج این تحقیق نشان داده است که حدود ۴ درصد از وسعت شهرستان دارای پتانسیل آسیب‌پذیری زیادی است.

احمدزاده و داورپناه (۱۴۰۲) به تحلیل فضایی خطر وقوع سیل با رویکرد برنامه‌ریزی و مدیریت کاربری اراضی در شهر ارومیه پرداختند. نتایج این پژوهش نشان داده است که حدود ۴۴ درصد از وسعت محدوده مطالعاتی، پتانسیل آسیب‌پذیری بالایی در برابر مخاطره سیلاب دارد. صفاری و همکاران (۱۴۰۲) به ارزیابی پتانسیل آسیب‌پذیری شهر رودهن در برابر مخاطرات طبیعی پرداختند. در این پژوهش از مدل تلفیقی Fuzzy-ANP استفاده شده است. نتایج این تحقیق نشان داده است که بخش زیادی از شهر رودهن مستعد وقوع مخاطرات زمین‌لغزش، زمین‌لرزه و سیلاب است. گنجائیان (۱۴۰۳) به ارزیابی وضعیت آسیب‌پذیری کلانشهرهای ایران در برابر مخاطره زمین‌لرزه پرداخته است. نتایج این تحقیق نشان داده است که در بین کلانشهرهای ایران، کلانشهر شیراز پتانسیل آسیب‌پذیری بیشتری در برابر مخاطره زمین‌لرزه دارد. در راستای تحقیقات پیشین صورت گرفته، هدف از این پژوهش بررسی وضعیت آسیب‌پذیری روستایی روستایی منطقه اورامان در برابر مخاطرات زمین‌لرزه، زمین‌لغزش و سیلاب است.

روش‌شناسی پژوهش

محدوده مورد مطالعه

محدوده مطالعاتی تحقیق حاضر شامل منطقه اورامان در استان کردستان است. در واقع، محدوده روستاهای اورامانی زبان در استان کردستان در نظر گرفته شده است. این محدوده از نظر تقسیمات سیاسی در محدوده شهرستان‌های سروآباد، کامیاران و سندج قرار دارد (شکل ۱). از نظر تقسیمات مورفوکتونیکی، این محدوده در واحد زاگرس قرار دارد و همین مسئله سبب شده است تا بخش زیادی از این محدوده را واحد کوهستان و اراضی پرشیب دربرگیرد. از نظر تقسیمات حوضه‌ای در حوضه آبریز سیروان قرار دارد و رودخانه سیروان، مهم‌ترین رودخانه این منطقه است. از نظر اقلیمی نیز به دلیل قرار گفتن در مسیر بادهای غربی، دارای زمستان‌های سرد و مرطوب و همچنین تابستان‌های نسبتاً معتدل است (گنجائیان و امانی، ۱۳۹۸).



شکل ۱. نقشه موقعیت منطقه مورد مطالعه

منبع: سازمان مدیریت و برنامه‌ریزی استان کردستان، ۱۴۰۰

روش تحقیق

در این تحقیق از روش‌های توصیفی-تحلیلی استفاده شده است. مهم‌ترین داده‌های تحقیق مدل رقومی ارتفاع ۳۰ متر STRM، لایه رقومی نقشه‌های زمین‌شناسی ۱:۱۰۰۰۰۰ منطقه و لایه‌های اطلاعاتی مربوط به پارامترهای مورد استفاده بوده است. مهم‌ترین ابزارهای مورد استفاده ArcGIS (اجرای مدل Fuzzy-AHP و تهیه نقشه‌های مورد نظر) و Expert Choice (وزن دهی به پارامترهای مورد نظر) بوده است. همچنین در این تحقیق از مدل تلفیقی Fuzzy-AHP استفاده شده است. با توجه به موضوع و اهداف مورد نظر، این تحقیق در ۴ مرحله کلی انجام شده است که در ادامه به تشریح آن‌ها پرداخته شده است:

- مرحله اول (شناسایی مناطق آسیب‌پذیر در برابر مخاطره زمین‌لغزش): به‌منظور شناسایی مناطق مستعد وقوع زمین‌لغزش در این منطقه، از ۸ پارامتر ارتفاع، شب، جهت شب، فاصله از رودخانه، فاصله از راه ارتباطی، نوع کاربری اراضی، لیتوژئی و فاصله از گسل استفاده شده است. انتخاب پارامترها بر مبنای مطالعات کتابخانه‌ای (چن^۱ و همکاران، ۲۰۱۷؛ کلای^۲ و همکاران، ۲۰۲۰؛ گنجائیان و همکاران، ۲۰۲۱؛ کسانتینی^۳ و همکاران، ۲۰۲۵؛ پیره و گنجائیان، ۱۴۰۳)، نظرات کارشناسان و وضعیت منطقه بوده است. پس از تهیه لایه‌های اطلاعاتی مربوط به پارامترهای مورد نظر، به‌منظور استانداردسازی لایه‌ها و تهیه نقشه نهایی، ابتدا لایه‌های اطلاعاتی فازی‌سازی شده‌اند که برای این منظور به مناطق با ارتفاع و شب زیاد، جهات شب شمالی، مناطق نزدیک به راه‌های ارتباطی، رودخانه و گسل، مناطق دارای لیتوژئی سست و مناطق دارای پوشش گیاهی کم تراکم، ارزش نزدیک به ۱ داده شده است. همچنین به مناطق با ارتفاع و شب کم، جهات شب جنوبی، مناطق دور از راه‌های ارتباطی، رودخانه و گسل، مناطق دارای لیتوژئی مقاوم و مناطق با پوشش گیاهی متراکم، ارزش نزدیک به صفر داده شده است. پس از استانداردسازی لایه‌های اطلاعاتی، با استفاده از مدل تحلیل سلسه‌مراتبی (AHP) و نظرات کارشناسان، به لایه‌های اطلاعاتی وزن داده شده است. پس از وزن دهی به لایه‌های اطلاعاتی، لایه‌ها با استفاده از عملگر گامای فازی با هم ترکیب شده‌اند و نقشه نهایی مناطق آسیب‌پذیر در برابر مخاطره زمین‌لغزش تهیه شده است.
- مرحله دوم (شناسایی مناطق آسیب‌پذیر در برابر مخاطره سیلاب): به‌منظور شناسایی مناطق آسیب‌پذیر در برابر مخاطره سیلاب از ۶ پارامتر شب، جهت شب، ارتفاع، فاصله از رودخانه، کاربری اراضی و لیتوژئی استفاده شده است. انتخاب پارامترها بر مبنای مطالعات کتابخانه‌ای (صفری نامیوندی و همکاران، ۱۴۰۳؛ نگهبان و همکاران، ۲۰۲۳)، نظرات کارشناسان و وضعیت منطقه بوده است. پس از تهیه لایه‌های اطلاعاتی مربوط به پارامترهای مورد نظر، به مناطق با ارتفاع و شب کم، جهات شب شمالی، مناطق نزدیک به رودخانه، مناطق دارای لیتوژئی نفوذناپذیر و مناطق با پوشش گیاهی کم تراکم، ارزش نزدیک به ۱ داده شده است. همچنین به مناطق با ارتفاع و شب زیاد، جهات شب جنوبی، مناطق دور از رودخانه، مناطق دارای لیتوژئی نفوذ ناپذیر و مناطق با پوشش گیاهی متراکم، ارزش نزدیک به صفر داده شده است. در این مرحله همانند مرحله اول از روش Fuzzy-AHP استفاده شده است.
- مرحله سوم (شناسایی مناطق آسیب‌پذیر در برابر مخاطره زمین‌لرزه): به‌منظور شناسایی مناطق آسیب‌پذیر در برابر مخاطره زمین‌لرزه از ۴ پارامتر فاصله از گسل، فاصله از کانون‌های زمین‌لرزه، لیتوژئی و شب لیتوژئی استفاده شده است. انتخاب پارامترها بر مبنای مطالعات کتابخانه‌ای (دیو^۴ و همکاران، ۲۰۲۳؛ هی و همکاران، ۲۰۲۴؛ تیان و همکاران، ۲۰۲۴)، نظرات کارشناسان و وضعیت منطقه بوده است. پس از تهیه لایه‌های اطلاعاتی، به مناطق نزدیک به گسل و کانون‌های زمین‌لرزه‌های رخ داده، مناطق دارای لیتوژئی نا مقاوم و شکننده و مناطق با شب زیاد، ارزش نزدیک به ۱ داده شده است. همچنین به مناطق دور از گسل و کانون‌های زمین‌لرزه‌های رخ داده، مناطق دارای لیتوژئی مقاوم و انعطاف‌پذیر و مناطق با شب کم، ارزش نزدیک به صفر داده شده است. در این مرحله نیز همانند مراحل اول و دوم از روش Fuzzy-AHP استفاده شده است.
- مرحله چهارم (تهیه نقشه مخاطره‌پذیری محدوده مطالعاتی): پس از تهیه نقشه‌های آسیب‌پذیری در برابر مخاطرات زمین‌لغزش، سیلاب و زمین‌لرزه، در این مرحله بر مبنای نتایج حاصله از مراحل قبل، نقشه مخاطره‌پذیری منطقه اورامان تهیه شده است. در این مرحله، مناطق دارای پتانسیل آسیب‌پذیری بالا در برابر هر سه مخاطره با هم ترکیب شده و در نهایت نقشه مخاطره‌پذیری محدوده مطالعاتی تهیه شده است.

یافته‌ها و بحث

بررسی وضعیت ژئومورفولوژی و زمین‌شناسی منطقه بیانگر این است که این منطقه پتانسیل بالایی از نظر وقوع مخاطرات زمین‌لغزش، سیلاب

1 . Chen

2 . Klai

3 . Ksantini

4 . Dun

و زمین‌لرزه دارد که در ادامه به تشریح مناطق مستعد وقوع هر کدام از این مخاطرات پرداخته شده است:

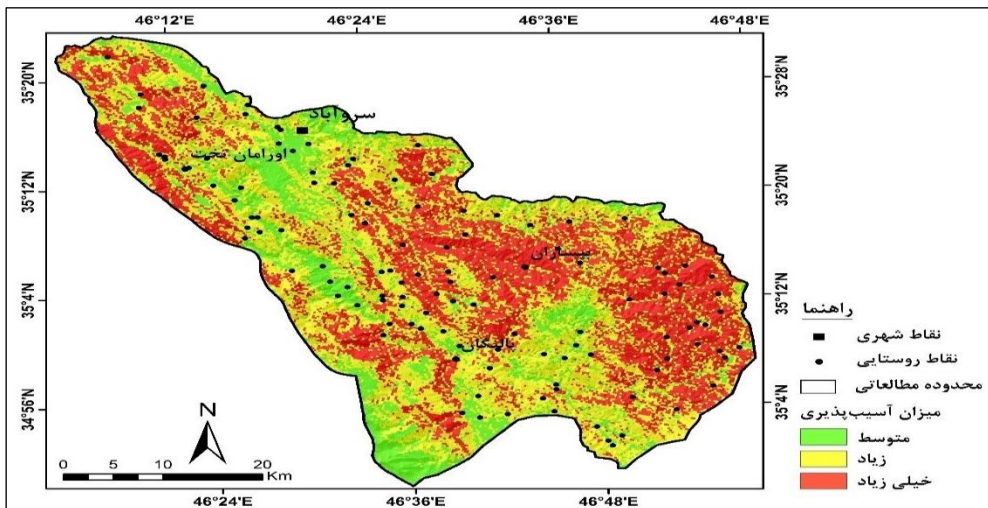
مناطق آسیب‌پذیر در برابر مخاطره زمین‌لغزش

وضعیت ژئومورفولوژی منطقه اورامان سبب شده است تا این منطقه پتانسیل بالایی جهت وقوع حرکات دامنه‌ای داشته باشد. مهم‌ترین حرکت دامنه‌ای که این منطقه را تهدید می‌کند، زمین‌لغزش است، به همین دلیل در این پژوهش مناطق مستعد وقوع زمین‌لغزش در منطقه اورامان شناسایی شده است. بررسی پارامترهای طبیعی و انسانی منطقه اورامان نشان داده است که هم عوامل طبیعی و هم عوامل انسانی، زمینه را برای وقوع مخاطره زمین‌لغزش در این منطقه فراهم آورده است. در واقع، با توجه به اینکه بخش زیادی از منطقه را دامنه‌های پرشیب دربرگرفته است و در بسیاری از مناطق، دامنه‌ها توسط فعالیت‌های انسانی از جمله راه‌های ارتباطی ناپایدار شده‌اند، بنابراین بخش زیادی از منطقه اورامان در معرض مخاطره زمین‌لغزش قرار دارد. با توجه به اهمیت موضوع، در این پژوهش به منظور شناسایی مناطق آسیب‌پذیر در برابر مخاطره زمین‌لغزش، از ۸ پارامتر استفاده شده است و با استفاده از نظرات کارشناسان و مدل AHP به این پارامترها وزن داده شده است (جدول ۱). پس از وزن دهی به لایه‌های اطلاعاتی، وزن بدست آمده بر روی لایه‌ها اعمال شده است و در نهایت لایه‌های اطلاعاتی با استفاده از عملگر گامای فازی با هم ترکیب شده و نقشه نهایی مناطق مستعد وقوع زمین‌لغزش تهیه شده است (شکل ۲). بر اساس نقشه تهیه شده، بخش‌های زیادی از منطقه مستعد وقوع زمین‌لغزش است که علت اصلی آن را می‌توان وجود دامنه‌های پرشیب و زیربری‌های صورت گرفته توسط رودخانه و راه ارتباطی دانست.

جدول ۱. وزن دهی به لایه‌های اطلاعاتی با استفاده از مدل AHP

پارامتر	شیب	جهت شیب	ارتفاع	لیتولوژی	فاصله از گسل	فاصله از رودخانه	فاصله از جاده	کاربری اراضی
وزن	۰/۲۱۳	۰/۷۸	۰/۹۹	۰/۱۰۱	۰/۱۱۵	۰/۱۲۷	۰/۱۶۲	۱۰۵

منبع: یافته‌های پژوهش، ۱۴۰۳



شکل ۲. نقشه نهایی مناطق مستعد وقوع زمین‌لغزش

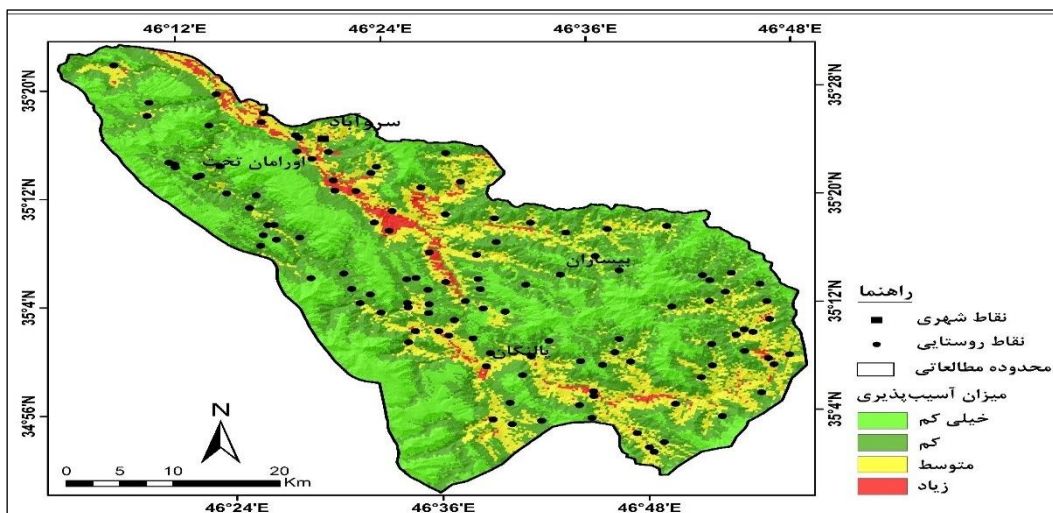
منبع: یافته‌های پژوهش، ۱۴۰۳

مناطق آسیب‌پذیر در برابر مخاطره سیلاب

یکی دیگر از مخاطرات تهدید‌کننده منطقه، سیلاب است. در واقع، وجود رودخانه‌های با دبی بالا و برف‌گیر بودن منطقه، شرایط را برای وقوع سیلاب در مناطق پایین‌دست فراهم آورده است. با توجه به اهمیت موضوع، در این پژوهش با استفاده از ۶ پارامتر به شناسایی مناطق مستعد وقوع سیلاب پرداخته شده است. پس از تهیه لایه‌های اطلاعاتی مربوط به هر پارامتر و فازی‌سازی آن‌ها، وزن هر لایه با استفاده از مدل AHP مشخص شده است (جدول ۲) و در نهایت با تلفیق لایه‌های اطلاعاتی با استفاده از عملگر گامای فازی، نقشه نهایی مناطق مستعد وقوع سیلاب تهیه شده است (شکل ۳). بر اساس نقشه تهیه شده، برخلاف مخاطره زمین‌لغزش، میزان آسیب‌پذیری در برابر مخاطره سیلاب کم‌تر است. در واقع، با توجه به اینکه بخش زیادی از منطقه مورد مطالعه در واحد کوهستان قرار دارد، تنها بخش‌های کمی از منطقه که در مجاورت رودخانه و در ارتفاعات پایین قرار دارند، در معرض مخاطره سیلاب هستند.

جدول ۲. وزن دهی به لایه‌های اطلاعاتی با استفاده از مدل AHP

پارامتر	شیب	جهت شیب	ارتفاع	فاصله از رودخانه	لیتولوژی	کاربری اراضی
وزن	۰/۲۲۳	۰/۱۱۲	۰/۱۶۶	۰/۲۶۷	۰/۱۰۷	۰/۱۲۵

منبع: یافته‌های پژوهش، ۱۴۰۳^۳

شکل ۳. نقشه نهایی مناطق مستعد وقوع سیلاب

منبع: یافته‌های پژوهش، ۱۴۰۳

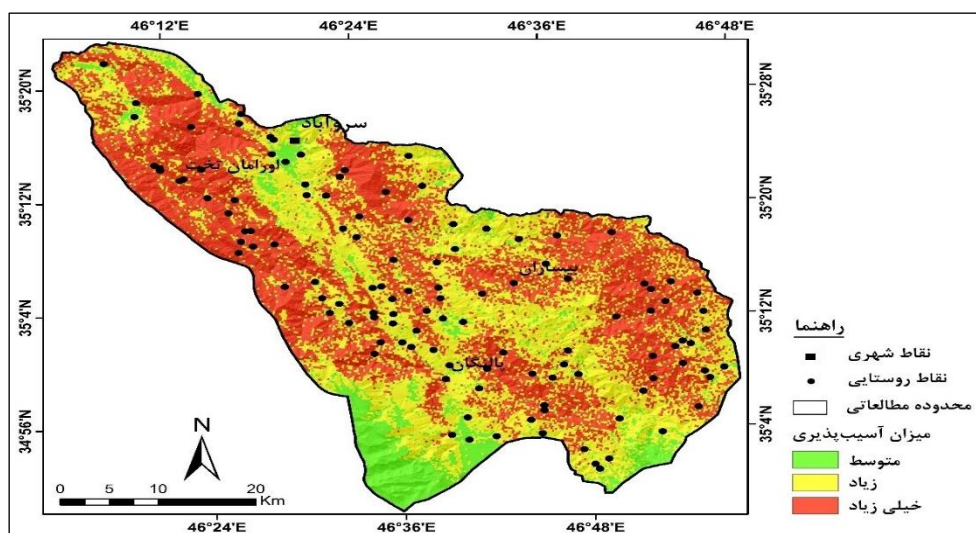
مناطق آسیب‌پذیر در برابر مخاطره زمین‌لرزه

قرارگیری منطقه اورامان در واحد زاگرس و نزدیکی به گسل‌های فعال سبب شده است تا این منطقه پتانسیل لرزه‌خیزی بالایی داشته باشد. با توجه به اینکه مخاطره زمین‌لرزه همواره با خسارات جانی و مالی زیادی همراه است، در این بخش با استفاده از ۴ پارامتر به شناسایی مناطق آسیب‌پذیر در برابر این مخاطره پرداخته شده است. پس از تهیه لایه‌های اطلاعاتی مربوط به هر پارامتر و فازی‌سازی آن‌ها، وزن هر لایه با استفاده از مدل AHP مشخص شده است (جدول ۳) و در نهایت با تلفیق لایه‌های اطلاعاتی با استفاده از عملگر گامای فازی، نقشه نهایی مناطق آسیب‌پذیر در برابر زمین‌لرزه تهیه شده است (شکل ۴). با توجه به اینکه بخش زیادی از منطقه مورد مطالعه در مجاورت خطوط گسل و کانون‌های زمین‌لرزه قرار دارد و همچنین به دلیل کوهستانی بودن منطقه، این منطقه دارای پتانسیل آسیب‌پذیری بالایی در برابر زمین‌لرزه است.

جدول ۳. وزن دهی به لایه‌های اطلاعاتی با استفاده از مدل AHP

پارامتر	فاصله از گسل	فاصله از کانون زمین‌لرزه	لیتولوژی	شیب
وزن	۰/۲۸۹	۰/۲۲۳	۰/۱۸۴	۰/۳۰۴

منبع: یافته‌های پژوهش، ۱۴۰۳

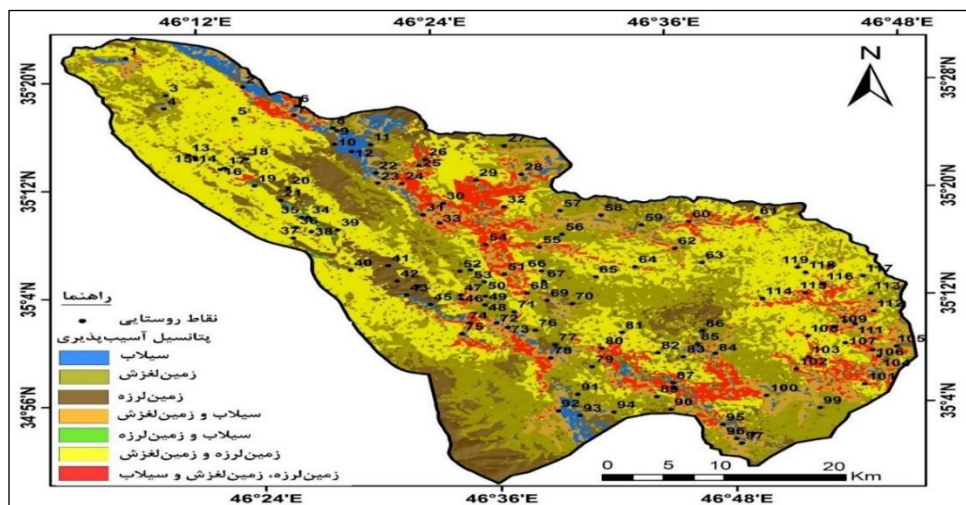


شکل ۴. نقشه نهایی مناطق آسیب‌پذیر در برابر زمین لرزه

منبع: یافته‌های پژوهش، ۱۴۰۳

تهییه نقشه مخاطرات طبیعی منطقه اورامان

در این پژوهش پس از پتانسیل سنجی منطقه از نظر وقوع مخاطرات مختلف، نقشه مخاطرات منطقه اورامان تهییه شده است (شکل ۵) که بر روی آن موقعیت تمامی روستاهای مشخص شده است. در این بخش به بررسی موقعیت روستاهای منطقه و میزان آسیب‌پذیری آن‌ها در برابر هر کدام از مخاطرات پرداخته شده است. در جدول ۴ موقعیت روستاهای میزان آسیب‌پذیری آن‌ها در برابر مخاطرات ناشی از زمین‌لغزش، سیلاب و زمین‌لرزه نشان داده شده است. بر اساس نتایج بدست آمده، از نظر آسیب‌پذیری در برابر سیلاب، ۹ روستا در طبقه پتانسیل آسیب‌پذیری زیاد، ۳۷ روستا در طبقه متوسط، ۵۸ روستا در طبقه کم و ۱۶ روستا در طبقه کم قرار دارند. در واقع، با توجه به کوهستانی بودن منطقه، میزان آسیب‌پذیری منطقه در برابر مخاطره سیلاب، کمتر از سایر مخاطرات است. از نظر آسیب‌پذیری در برابر زمین‌لغزش ۲۵ روستا در طبقه پتانسیل آسیب‌پذیری خیلی زیاد، ۶۰ روستا در طبقه زیاد و ۳۵ روستا در طبقه متوسط قرار دارند. همچنین از نظر آسیب‌پذیری در برابر زمین‌لرزه نیز ۴۸ روستا در طبقه پتانسیل آسیب‌پذیری خیلی زیاد، ۶۴ روستا در طبقه زیاد و ۸ روستا در طبقه متوسط قرار دارند (جدول ۴).



شکل ۵. نقشه وضعیت آسیب‌پذیری منطقه اورامان در برابر مخاطرات طبیعی

منبع: یافته‌های پژوهش، ۱۴۰۳

جدول ۴. موقعیت روستاهای منطقه اورامان و میزان آسیب‌پذیری آن‌ها در برابر مخاطرات محیطی

موقعیت در نقشه	روستا	طول جغرافیایی	عرض جغرافیایی	آسیب‌پذیری سیلاب	آسیب‌پذیری زمین لغزش	آسیب‌پذیری زمین لرزه
۱	دزلی	۴۶° ۰۸'	۳۵° ۲۲'	کم	زیاد	خیلی زیاد
۲	بهرام آباد	۴۶° ۱۵'	۳۵° ۲۱'	کم	متوسط	زیاد
۳	دمیو	۴۶° ۱۱'	۳۵° ۲۰'	کم	زیاد	زیاد
۴	درکی	۴۶° ۱۱'	۳۵° ۱۹'	متوسط	زیاد	زیاد
۵	بندول	۴۶° ۱۵'	۳۵° ۱۹'	خیلی کم	زیاد	خیلی زیاد
۶	تازه آباد تقلی	۴۶° ۱۸'	۳۵° ۲۰'	زیاد	زیاد	خیلی زیاد
۷	تقلی	۴۶° ۱۸'	۳۵° ۱۹'	متوسط	زیاد	زیاد
۸	ابراهیم آباد	۴۶° ۲۰'	۳۵° ۱۹'	متوسط	متوسط	زیاد
۹	احمد آباد تقلی	۴۶° ۲۱'	۳۵° ۱۹'	زیاد	متوسط	زیاد
۱۰	دورود	۴۶° ۲۲'	۳۵° ۱۸'	متوسط	متوسط	متوسط
۱۱	ترخان آباد	۴۶° ۲۳'	۳۵° ۱۸'	متوسط	متوسط	متوسط
۱۲	محمد آباد	۴۶° ۲۳'	۳۵° ۱۷'	زیاد	متوسط	متوسط
۱۳	کماله	۴۶° ۱۳'	۳۵° ۱۵'	خیلی کم	متوسط	خیلی زیاد
۱۴	ری وری	۴۶° ۱۴'	۳۵° ۱۶'	کم	زیاد	خیلی زیاد
۱۵	ویسیان	۴۶° ۱۴'	۳۵° ۱۵'	خیلی کم	زیاد	خیلی زیاد
۱۶	اورامان تخت	۴۶° ۱۵'	۳۵° ۱۵'	کم	زیاد	خیلی زیاد
۱۷	سرپیر	۴۶° ۱۶'	۳۵° ۱۵'	خیلی کم	زیاد	خیلی زیاد
۱۸	مرچلم	۴۶° ۱۷'	۳۵° ۱۶'	کم	زیاد	خیلی زیاد
۱۹	بلیر	۴۶° ۱۸'	۳۵° ۱۴'	کم	زیاد	خیلی زیاد
۲۰	ژیوار	۴۶° ۲۰'	۳۵° ۱۴'	خیلی کم	متوسط	زیاد
۲۱	سلین	۴۶° ۱۹'	۳۵° ۱۳'	متوسط	متوسط	خیلی زیاد
۲۲	خانقاہ رزاب	۴۶° ۲۴'	۳۵° ۱۶'	زیاد	زیاد	زیاد
۲۳	رزاب	۴۶° ۲۴'	۳۵° ۱۵'	کم	متوسط	زیاد
۲۴	کرآباد	۴۶° ۲۵'	۳۵° ۱۶'	زیاد	زیاد	زیاد
۲۵	گوشخانی	۴۶° ۲۶'	۳۵° ۱۷'	کم	زیاد	خیلی زیاد
۲۶	نسل	۴۶° ۲۶'	۳۵° ۱۸'	کم	متوسط	خیلی زیاد
۲۷	میانه	۴۶° ۳۰'	۳۵° ۱۹'	خیلی کم	متوسط	زیاد
۲۸	نگل	۴۶° ۳۱'	۳۵° ۱۷'	زیاد	خیلی زیاد	زیاد
۲۹	برقو	۴۶° ۲۹'	۳۵° ۱۶'	کم	زیاد	خیلی زیاد
۳۰	نی آباد	۴۶° ۲۸'	۳۵° ۱۴'	متوسط	خیلی زیاد	خیلی زیاد
۳۱	دگاگاه	۴۶° ۲۷'	۳۵° ۱۳'	متوسط	زیاد	زیاد
۳۲	لنگریز	۴۶° ۳۱'	۳۵° ۱۵'	متوسط	زیاد	زیاد
۳۳	ماضی بن	۴۶° ۲۸'	۳۵° ۱۳'	زیاد	زیاد	زیاد
۳۴	ورگه ویر	۴۶° ۲۱'	۳۵° ۱۲'	کم	زیاد	خیلی زیاد
۳۵	گیجه ناو	۴۶° ۲۱'	۳۵° ۱۲'	متوسط	متوسط	خیلی زیاد
۳۶	کلچی	۴۶° ۲۱'	۳۵° ۱۱'	خیلی کم	زیاد	خیلی زیاد
۳۷	ناو	۴۶° ۲۱'	۳۵° ۱۰'	خیلی کم	متوسط	خیلی زیاد
۳۸	نوین	۴۶° ۲۲'	۳۵° ۱۱'	خیلی کم	متوسط	خیلی زیاد
۳۹	عیاس آباد	۴۶° ۲۳'	۳۵° ۱۲'	کم	متوسط	خیلی زیاد
۴۰	اسپه ریز	۴۶° ۲۴'	۳۵° ۰۸'	خیلی کم	زیاد	خیلی زیاد
۴۱	روار	۴۶° ۲۶'	۳۵° ۰۹'	کم	متوسط	زیاد
۴۲	زوم	۴۶° ۲۷'	۳۵° ۰۸'	کم	متوسط	زیاد
۴۳	دشته قلبی	۴۶° ۲۸'	۳۵° ۰۷'	کم	متوسط	زیاد

موقعیت در نقشه	روستا	طول جغرافیایی	عرض جغرافیایی	آسیب‌پذیری سیلاب	آسیب‌پذیری در برابر زمین‌لغش	آسیب‌پذیری در برابر زمین‌لرزه
۴۴	دل	۴۶° ۲۸'	۳۵° ۰.۷'	خیلی کم	متوسط	زیاد
۴۵	دله مرز	۴۶° ۲۹'	۳۵° ۰.۹'	کم	متوسط	خیلی زیاد
۴۶	فقیهه کان	۴۶° ۳۰'	۳۵° ۰.۷'	متوسط	زیاد	خیلی زیاد
۴۷	کولیج	۴۶° ۳۰'	۳۵° ۰.۸'	کم	متوسط	متوسط
۴۸	کانی حسین بگ	۴۶° ۳۲'	۳۵° ۰.۷'	کم	زیاد	زیاد
۴۹	دبور	۴۶° ۳۳'	۳۵° ۰.۸'	متوسط	متوسط	زیاد
۵۰	ژریژه	۴۶° ۳۱'	۳۵° ۰.۹'	کم	زیاد	زیاد
۵۱	چشمیدر	۴۶° ۳۳'	۳۵° ۱۰'	متوسط	خیلی زیاد	خیلی زیاد
۵۲	کلکیک آباد	۴۶° ۳۰'	۳۵° ۱۰'	کم	زیاد	زیاد
۵۳	سرومال	۴۶° ۳۰'	۳۵° ۱۰'	کم	زیاد	زیاد
۵۴	بوری در	۴۶° ۳۱'	۳۵° ۱۲'	زیاد	خیلی زیاد	خیلی زیاد
۵۵	هرسین	۴۶° ۳۳'	۳۵° ۱۲'	کم	خیلی زیاد	خیلی زیاد
۵۶	خواشت	۴۶° ۳۴'	۳۵° ۱۳'	کم	خیلی زیاد	خیلی زیاد
۵۷	سفیدبن	۴۶° ۳۴'	۳۵° ۱۵'	متوسط	زیاد	زیاد
۵۸	نجی	۴۶° ۳۶'	۳۵° ۱۵'	متوسط	زیاد	زیاد
۵۹	سالیان	۴۶° ۳۸'	۳۵° ۱۵'	متوسط	زیاد	زیاد
۶۰	آوینگ	۴۶° ۴۱'	۳۵° ۱۵'	متوسط	خیلی زیاد	خیلی زیاد
۶۱	ویسر	۴۶° ۴۴'	۳۵° ۱۶'	کم	متوسط	خیلی زیاد
۶۲	هویه	۴۶° ۴۰'	۳۵° ۱۳'	کم	زیاد	زیاد
۶۳	سرهودیه	۴۶° ۴۳'	۳۵° ۱۲'	کم	زیاد	زیاد
۶۴	بیساران	۴۶° ۳۹'	۳۵° ۱۱'	کم	زیاد	زیاد
۶۵	ژان	۴۶° ۳۷'	۳۵° ۱۰'	کم	خیلی زیاد	خیلی زیاد
۶۶	نسنار	۴۶° ۳۴'	۳۵° ۱۰'	کم	زیاد	خیلی زیاد
۶۷	بوزنان	۴۶° ۳۴'	۳۵° ۰.۹'	خیلی کم	زیاد	خیلی زیاد
۶۸	اریان	۴۶° ۳۴'	۳۵° ۰.۸'	کم	خیلی زیاد	خیلی زیاد
۶۹	ژین	۴۶° ۳۵'	۳۵° ۰.۸'	کم	خیلی زیاد	خیلی زیاد
۷۰	پایگلان	۴۶° ۳۶'	۳۵° ۰.۸'	کم	زیاد	متوسط
۷۱	سوره تو	۴۶° ۳۳'	۳۵° ۰.۷'	کم	زیاد	زیاد
۷۲	دزوند علیا	۴۶° ۳۳'	۳۵° ۰.۶'	متوسط	متوسط	زیاد
۷۳	دزوند سفلی	۴۶° ۳۳'	۳۵° ۰.۵'	متوسط	متوسط	زیاد
۷۴	جولانده	۴۶° ۳۱'	۳۵° ۰.۵'	متوسط	متوسط	زیاد
۷۵	دیوزنلو	۴۶° ۳۱'	۳۵° ۰.۵'	متوسط	متوسط	زیاد
۷۶	دهکانان	۴۶° ۳۴'	۳۵° ۰.۵'	کم	متوسط	زیاد
۷۷	تفین	۴۶° ۳۶'	۳۵° ۰.۵'	کم	متوسط	زیاد
۷۸	پالنگان	۴۶° ۳۶'	۳۵° ۰.۴'	متوسط	متوسط	زیاد
۷۹	دز	۴۶° ۳۸'	۳۵° ۰.۳'	کم	زیاد	زیاد
۸۰	شاپیر	۴۶° ۳۹'	۳۵° ۰.۵'	کم	متوسط	زیاد
۸۱	گواز	۴۶° ۳۹'	۳۵° ۰.۶'	خیلی کم	زیاد	خیلی زیاد
۸۲	سرربز	۴۶° ۴۱'	۳۵° ۰.۵'	کم	زیاد	خیلی زیاد
۸۳	مزرعه سرربز	۴۶° ۴۳'	۳۵° ۰.۵'	کم	زیاد	خیلی زیاد
۸۴	محراب	۴۶° ۴۴'	۳۵° ۰.۵'	متوسط	خیلی زیاد	خیلی زیاد
۸۵	نیز	۴۶° ۴۳'	۳۵° ۰.۶'	کم	زیاد	زیاد
۸۶	تنگی سر	۴۶° ۴۳'	۳۵° ۰.۷'	کم	زیاد	زیاد

موقعیت در نقشه	روستا	طول جغرافیایی	عرض جغرافیایی	آسیب‌پذیری سیلاب	آسیب‌پذیری زمین لغزش	آسیب‌پذیری در برابر زمین لغزش	آسیب‌پذیری در برابر زمین لغزه
۸۷	سموریدر	۴۶° ۴۳'	۳۵° ۰۳'	زیاد	متوسط	زیاد	زیاد
۸۸	پیریانگ	۴۶° ۴۳'	۳۵° ۰۲'	متوسط	متوسط	خیلی زیاد	زیاد
۸۹	سیویه	۴۶° ۴۲'	۳۵° ۰۲'	متوسط	متوسط	زیاد	زیاد
۹۰	میرگسار	۴۶° ۴۳'	۳۵° ۰۱'	کم	زیاد	زیاد	زیاد
۹۱	یوزیدر	۴۶° ۳۸'	۳۵° ۰۱'	کم	زیاد	متوسط	متوسط
۹۲	تنگیور	۴۶° ۳۷'	۳۵° ۰۱'	متوسط	زیاد	زیاد	زیاد
۹۳	فیروزآباد	۴۶° ۳۸'	۳۵° ۰۰'	متوسط	متوسط	متوسط	متوسط
۹۴	کاشتر	۴۶° ۴۰'	۳۵° ۰۰'	کم	زیاد	زیاد	زیاد
۹۵	هنندیمن	۴۶° ۴۶'	۳۵° ۰۰'	کم	زیاد	زیاد	زیاد
۹۶	فرج آباد	۴۶° ۴۷'	۳۴° ۵۹'	کم	زیاد	متوسط	متوسط
۹۷	فارس آباد	۴۶° ۴۷'	۳۴° ۵۹'	کم	زیاد	زیاد	زیاد
۹۸	طای	۴۶° ۴۸'	۳۵° ۰۰'	کم	زیاد	زیاد	زیاد
۹۹	دولاب	۴۶° ۵۱'	۳۵° ۰۲'	کم	زیاد	زیاد	زیاد
۱۰۰	نزار	۴۶° ۴۸'	۳۵° ۰۳'	کم	خیلی زیاد	خیلی زیاد	خیلی زیاد
۱۰۱	بزلانه	۴۶° ۵۳'	۳۵° ۰۴'	متوسط	خیلی زیاد	خیلی زیاد	خیلی زیاد
۱۰۲	وصی سفلی	۴۶° ۴۹'	۳۵° ۰۵'	متوسط	خیلی زیاد	خیلی زیاد	خیلی زیاد
۱۰۳	وصی علیا	۴۶° ۴۹'	۳۵° ۰۶'	متوسط	خیلی زیاد	خیلی زیاد	خیلی زیاد
۱۰۴	دره کوله	۴۶° ۵۳'	۳۵° ۰۶'	متوسط	خیلی زیاد	خیلی زیاد	زیاد
۱۰۵	سواریان	۴۶° ۵۴'	۳۵° ۰۷'	کم	زیاد	زیاد	متوسط
۱۰۶	کانی شلانه	۴۶° ۵۲'	۳۵° ۰۷'	متوسط	خیلی زیاد	خیلی زیاد	خیلی زیاد
۱۰۷	آندراب	۴۶° ۵۱'	۳۵° ۰۷'	کم	خیلی زیاد	خیلی زیاد	خیلی زیاد
۱۰۸	گلین	۴۶° ۴۹'	۳۵° ۰۸'	کم	زیاد	زیاد	خیلی زیاد
۱۰۹	خانقاہ گلین	۴۶° ۵۰'	۳۵° ۰۸'	متوسط	خیلی زیاد	خیلی زیاد	خیلی زیاد
۱۱۰	هشلی	۴۶° ۵۰'	۳۵° ۰۹'	متوسط	خیلی زیاد	خیلی زیاد	خیلی زیاد
۱۱۱	درویشان	۴۶° ۵۱'	۳۵° ۰۹'	کم	متوسط	زیاد	زیاد
۱۱۲	برزاب	۴۶° ۵۲'	۳۵° ۱۰'	متوسط	خیلی زیاد	خیلی زیاد	زیاد
۱۱۳	پتیلیر	۴۶° ۵۱'	۳۵° ۱۱'	کم	زیاد	زیاد	زیاد
۱۱۴	شیان	۴۶° ۴۶'	۳۵° ۱۰'	کم	زیاد	زیاد	زیاد
۱۱۵	توریور	۴۶° ۴۸'	۳۵° ۱۱'	متوسط	خیلی زیاد	خیلی زیاد	خیلی زیاد
۱۱۶	اندر	۴۶° ۴۹'	۳۵° ۱۲'	کم	خیلی زیاد	خیلی زیاد	خیلی زیاد
۱۱۷	تحته	۴۶° ۵۱'	۳۵° ۱۳'	خیلی کم	خیلی زیاد	خیلی زیاد	زیاد
۱۱۸	تکیه هشمیز	۴۶° ۴۸'	۳۵° ۱۲'	خیلی کم	زیاد	خیلی زیاد	خیلی زیاد
۱۱۹	همشمیز	۴۶° ۴۷'	۳۵° ۱۳'	خیلی کم	خیلی زیاد	خیلی زیاد	خیلی زیاد
۱۲۰	حلوان	۴۶° ۴۹'	۳۵° ۱۳'	متوسط	زیاد	زیاد	زیاد

منبع: یافته‌های پژوهش، ۱۴۰۳

نتیجه‌گیری

وضعیت طبیعی منطقه اورامان سبب شده است تا این منطقه پتانسیل مخاطره‌پذیری بالای داشته باشد. بررسی‌های صورت گرفته نشان داده است که در طی سال‌های اخیر این منطقه با مخاطرات مختلفی از جمله حرکات دامنه‌ای، سیلاب و زمین‌لرزه مواجه شده است و همین مسئله سبب شد تا در این پژوهش به بررسی این مخاطرات در این منطقه پرداخته شود. نتایج ارزیابی وضعیت آسیب‌پذیری منطقه اورامان از نظر مخاطره زمین لغزش نشان داده است که بخش زیادی از محدوده مطالعاتی، خصوصاً مناطق شمال غربی و شرقی محدوده به دلیل ارتفاع و شیب زیاد، نزدیکی به رودخانه و راه‌های ارتباطی، همانند مناطق جنوبی بخش دهدز شهرستان ایذه (آتش‌افروز و صفای پور، ۱۴۰۰) و مناطق مرکزی حوضه آبریز شاهروд (جعفری و خدابی، ۱۴۰۲) دارای پتانسیل آسیب‌پذیری بالایی است. از نظر مخاطره سیلاب، به دلیل

کوهستانی بودن منطقه و ارتفاع زیاد، بخش کمتری از منطقه اورامان در طبقه پتانسیل آسیب‌پذیری زیاد قرار دارد. درواقع، بخش محدودی از مناطق مرکزی آن که ارتفاع و شیب کمتری دارند و در نزدیکی رودخانه‌ها هستند، در برابر مخاطره سیلاب آسیب‌پذیر هستند. از نظر مخاطره زمین‌لرزه نیز همانند مخاطره زمین‌لغزش، بخش زیادی از منطقه، خصوصاً مناطق غربی و جنوب غربی منطقه به دلیل نزدیکی به کانون زمین‌لرزه‌های رخ داده و نزدیکی به خط گسل، دارای پتانسیل آسیب‌پذیری بالایی هستند. درمجموع نتایج این پژوهش نشان داده است که مناطق مرکزی محدوده اورامان از جمله روستاهای برقو، نیآباد، دگاگاه، ماضی‌بن، نسل و بوری در به دلیل اینکه از نظر هر سه مخاطره (زمین‌لغزش، زمین‌لرزه و سیلاب) دارای پتانسیل آسیب‌پذیری بالایی هستند، به عنوان مخاطره‌پذیرترین روستاهای منطقه اورامان محسوب می‌شوند. با توجه به نتایج حاصله می‌توان گفت که منطقه اورامان همانند بخش‌های زیادی از محدوده شهری سنندج (نصرتی و همکاران، ۱۴۰۱) و بخش‌های مرکزی شهرستان رودهن (صفاری و همکاران، ۱۴۰۲) دارای پتانسیل آسیب‌پذیری بالایی در برابر مخاطرات طبیعی است، بنابراین ضروری است تا در برنامه‌ریزی‌های توسعه‌ای این منطقه، به عواملی همچون استحکام ساختمان‌ها در برابر زمین‌لرزه، تعیین حریم رودخانه‌ها و جلوگیری از پیشروی سکونتگاه‌ها به سمت آن‌ها در مناطق سیل خیز و همچنین پتانسیل حرکت دامنه‌ها توجه ویژه‌ای شود.

حامی مالی

بنا به اظهار نویسنده مسئول، این مقاله حامی مالی نداشته است.

سهم نویسنده‌گان در پژوهش

نویسنده اول: نظارت علمی بر تمامی مراحل تحقیق، تحلیل داده‌ها و نگارش نهایی مقاله

نویسنده دوم: گردآوری منابع کتابخانه‌ای، ورود اطلاعات و ترسیم نقشه‌ها

نویسنده سوم: انجام تحلیل‌های مکانی و فضایی با استفاده از نرم‌افزارهای تخصصی، تهیه و تفسیر نمودارها و جداول، تدوین چارجوب نظری پژوهش

نویسنده چهارم: جمع‌آوری داده‌های میدانی، مشارکت در تحلیل نهایی یافته‌ها.

تضاد منافع

نویسنده‌گان اعلام می‌دارند که هیچ تضاد منافعی در رابطه با نویسنگی و یا انتشار این مقاله ندارند.

تقدیر و تشکر

نویسنده‌گان از تمامی افرادی که در گردآوری داده‌های مورد نیاز با آن‌ها همکاری کرده‌اند، صمیمانه تشکر و قدردانی می‌نمایند.

منابع

۱. آتش‌افروز، نسرین و صفاتی‌پور، مسعود (۱۴۰۰). ریز پهنه‌بندی زمین‌لغزش با استفاده از تکنیک دیتمل و AHP فازی (مطالعه موردی: بخش دهدز استان خوزستان)، *مطالعات توسعه پایدار شهری و منطقه‌ای*، دوره ۱، شماره ۴، صص ۶۱-۸۱ https://www.srds.ir/article_134524.html
۲. احمدزاده، حسن و داورپناه، مصطفی (۱۴۰۲). تحلیل فضایی خطر وقوع سیل با رویکرد برنامه‌ریزی و مدیریت کاربری اراضی شهر ارومیه. *جغرافیا و مخاطرات محیطی*، ۱۲ (۲)، ۸۰-۶۳ <https://doi.org/10.22067/geoh.2022.77571.1255>
۳. امیریان، سهراب، صفاتی‌پور، مسعود، حسینی امینی، حسن و عبادی، حسین (۱۳۹۹). پهنه‌بندی حریم اینمی و آسیب‌پذیری در شهر اهواز از منظر پدافند غیرعامل، *تحقیقات کاربردی علوم جغرافیایی*، ۵۶ (۲۰)، ۳۰۹-۲۹۹ <http://dx.doi.org/10.29252/jgs.20.56.299>
۴. پیره، مهین و گنجایان، حمید (۱۴۰۳). تحلیل زمین‌لغزش‌های رخ داده در ارتباط با عوامل محیطی (مطالعه موردی: شهرستان سنندج). *جغرافیا و روابط انسانی*، ۷ (۳)، ۲۷۸-۲۴۲ <https://doi.org/10.22034/gahr.2025.458065.2135>
۵. جعفری، غلامحسن و خدایی، روح‌الله (۱۴۰۲). پهنه‌بندی سطوح ارضی خوبه شاهروド در مقابل وقوع زمین‌لغزش به کمک مدل شانون. *جغرافیا و مخاطرات محیطی*، ۱۲ (۴)، ۷۴۳-۷۵۳ <https://doi.org/10.22067/geoh.2022.75401.1183>
۶. رنجبر، محسن و بیات، سارا (۱۳۸۹). بررسی مخاطرات طبیعی شهرستان خمین با تأکید بر زلزله و مدیریت بحران. *جغرافیایی چشم‌انداز زاگرس*، ۲ (۴)، ۴۹-۳۷ <https://www.sid.ir/paper/175735>
۷. سالاری، ممند؛ نیری، هادی؛ گنجایان، حمید و امانی، خبات (۱۳۹۶). مکان‌گزینی جهات مناسب توسعه شهری کامیاران با رویکرد مخاطره‌شناسی مبتنی بر اعمال مناطق منوع زئومورفولوژیکی. *مدیریت مخاطرات محیطی*، ۴ (۴)، ۴۱۹-۴۳۶ <https://doi.org/10.22059/jhsci.2018.252694.341>
۸. صفاری، امیر، کیانی، سارا و عباس‌زاده، امیرعلی (۱۴۰۲). پتانسیل‌سنجی مناطق آسیب‌پذیر در برابر مخاطرات طبیعی (مطالعه موردی: شهر رودهن).

جغرافیا و مخاطرات محیطی، ۱۲ (۲)، ۲۶۷-۲۸۳. <https://doi.org/10.22067/geoch.2022.73710.1249>

۹. صفری نامیوندی، مهدی؛ گنجائیان، حمید؛ نصرتی، مژگان و محمدیان، کلثوم. (۱۴۰۳). شناسایی مناطق سیل‌زده و تحلیل عوامل موثر در وقوع آن (مطالعه موردي: جنوب شرق استان سیستان و بلوچستان). پژوهش‌های ژئومورفوژئی کمی، ۲۱(۳)، ۱۸۱-۱۹۴. <https://doi.org/10.22034/gmpj.2024.449586.1494>
۱۰. گنجائیان، حمید (۱۳۹۹). مخاطرات ژئومورفوژئیک مناطق شهری، روش‌های مطالعه و راهکارهای کنترل آن. نشر انتخاب، تهران.
۱۱. گنجائیان، حمید (۱۴۰۳). ارزیابی استعداد لرده خیزی کلان شهرهای ایران. فصلنامه علمی-پژوهشی اطلاعات جغرافیایی «سپهر». ۳۲(۳)، ۱۳۲-۱۴۳. <https://doi.org/10.22131/sepehr.2024.2019284.3047>
۱۲. گنجائیان، حمید (۱۴۰۳). تحلیل مکانی و زمانی زمین‌لرزه‌های ایران در طی سال‌های ۱۹۰۷ تا ۲۰۲۳. جغرافیا و مخاطرات محیطی، ۱۳(۴)، ۲۲۲-۲۴۳. <https://doi.org/10.22067/geoch.2024.87246.1470>
۱۳. گنجائیان، حمید؛ یمانی، مجتبی؛ گوارابی، ابوالقاسم و مقصودی، مهران (۱۴۰۲). ارزیابی میزان جابجایی سطح زمین در دشت کرمانشاه و تاثیر زلزله ازگله بر روند جابجایی با استفاده از روش SBAS. پژوهش‌های ژئومورفوژئی کمی، ۱۲ (۱)، ۱۱۳-۱۱۵. <https://doi.org/10.22034/gmpj.2021.141038>
۱۴. گنجائیان، حمید؛ یمانی، مجتبی؛ گوارابی، ابوالقاسم و مقصودی، مهران (۱۳۹۹). انطباق شاخص‌های مورفوکتونیک با کانون‌های زمین‌لرزه در زاگرس شمال غرب (حوضه‌های سیروان و قره‌سو). جغرافیا و برنامه‌ریزی محیطی، ۳۰(۴)، ۱۳۰-۱۱۳. <https://doi.org/10.22108/gep.2021.124247.1335>
۱۵. لجم‌اورک، مرتضی و پیری، زهرا (۱۴۰۲). پهنه‌بندی خطر وقوع زمین‌لغزش با استفاده از مدل تحلیل سلسله مراتبی (AHP) و فن GIS (مطالعه موردي: شهرستان باغملک). جغرافیا و مخاطرات محیطی، ۱۲ (۳)، ۲۱۵-۱۹۳. <https://doi.org/10.22067/geoch.2022.77009.1239>
۱۶. محمدخان، شیرین؛ گنجائیان، حمید؛ شهری، سمية و عباس‌زاده، امیرعلی (۱۳۹۸). پیش‌بینی روند توسعه شهری به سمت مناطق مخاطره‌آمیز با استفاده از تصاویر چندزمانه؛ مطالعه موردي: شهر مریوان. فصلنامه علمی-پژوهشی اطلاعات جغرافیایی (سپهر)، ۲۸(۱۱۰)، ۱۱۷-۱۰۷. <https://doi.org/10.22131/sepehr.2019.36615>
۱۷. نصرتی، مژگان، خضری، سعید و کاظمی، آفاق (۱۴۰۱). بررسی و تحلیل مخاطرات طبیعی و مسائل انسانی و محیطی شهر سنتنجه به منظور ارائه راهکارهای مناسب. جغرافیا و مخاطرات محیطی، ۱۱ (۱)، ۱۱۵-۹۹. <https://doi.org/10.22067/geoch.2021.71620.1092>
۱۸. نگهبان، سعید، پیسوزی، تینا، گنجائیان، حمید و نوروزی، میلاد (۱۴۰۰). شناسایی مناطق مستعد وقوع زمین‌لغزش و جابجایی عمودی با استفاده از تصاویر راداری (مطالعه موردي: محدوده شهری و حاشیه شهری لواسان). جغرافیا و مخاطرات محیطی، ۳۹(۱)، ۱۱۸-۱۰۱. <https://doi.org/10.22067/geoch.2021.71728.1094>
۱۹. نگهبان، سعید؛ گنجائیان، حمید؛ ابراهیمی، عطربین و امامی، کامیار (۱۳۹۸). پایش و پیش‌بینی روند تغییرات نواحی سکونتگاهی با استفاده از تصاویر چند زمانه (مطالعه موردي: شهر سنقر). فیزیک زمین و فضا، ۴۵(۲)، ۳۵۴-۳۴۳. <https://doi.org/10.22059/jesphys.2019.275076.1007084>
۲۰. نگهبان، سعید؛ گنجائیان، حمید؛ ابراهیمی، عطربین و قیصریان، سیدسعده (۱۴۰۳). تحلیل نقش عوامل محیطی در وقوع سیلاب‌ها با استفاده از از سامانه گوگل ارث انجین (مطالعه موردي: غرب استان گلستان). جغرافیا و برنامه‌ریزی محیطی، ۳۵(۴)، ۱۱۸-۱۱۱. <https://doi.org/10.22108/gep.2024.142342.1659>
۲۱. نگهبان، سعید؛ گنجائیان، حمید؛ فریدونی کردستانی، مژده و چشم‌سفیدی، زیبا (۱۳۹۸). ارزیابی توسعه فیزیکی شهرها و گسترش به سمت مناطق ممنوعه ژئومورفوژئیکی با استفاده از LCM (مطالعه موردي: شهر سنتنجه). مخاطرات محیط طبیعی، ۸(۲۰)، ۵۲-۳۹. <https://doi.org/10.22111/jneh.2018.21943.1317>
۲۲. نیری، هادی؛ سالاری، ممند؛ گنجائیان، حمید و امانی، خبات (۱۳۹۶). ارزیابی ژئومورفوژئیکی تناسب زمین برای گسترش کالبدی شهر سنتنجه با اعمال مناطق ممنوعه. پژوهش‌های جغرافیای برنامه‌ریزی شهری، ۱۵(۱)، ۱۴۷-۱۲۵. <https://doi.org/10.22059/jurbangeo.2017.63213>
۲۳. نیری، هادی؛ گنجائیان، حمید و امانی، خبات (۱۳۹۷). ارزیابی شاخص‌های محیطی تناسب زمین برای گسترش کالبدی شهر سروآباد با تئفیق دو مدل تحلیل شبکه‌ای و منطق فازی. جغرافیای اجتماعی شهری، ۱۵(۱)، ۶۲-۴۹. <https://doi.org/10.22103/JUSG.2018.1961>
24. Asmelash, A., Giulio, B., & Woldearegay, K. (2019). GIS-based landslide susceptibility evaluation using analytical hierarchy processes (AHP) approach: the case of Tarmaber District, Ethiopia. *Momona Ethiopian Journal of Science*, 11(1), 14-36. <http://dx.doi.org/10.4314/mejs.v11i1.2>
25. Beyene, E., & Minal, A.S. (2023). Modeling urban land use dynamics using Markov-chain and cellular automata in Gondar City, Northwest Ethiopia. *Chinese Journal of Population, Resources and Environment*, 21(2), 111-120. <https://doi.org/10.1016/j.cjpre.2023.06.007>
26. Bronfman, N.C., Cisternas, P.C., Repetto, P.B., & Castaneda, J.V. (2019). Natural disaster preparedness in a multi-hazard environment: Characterizing the sociodemographic profile of those better (worse) prepared. *PLoS One*, 14(4). <https://doi.org/10.1371/journal.pone.0214249>

27. Chen, Z., Huang, Y., He, X., Shao, X., Li, L., Xu, C., Wang, S., Xu, X., & Xiao, Z. (2023). Landslides triggered by the 10 June 2022 Maerkang earthquake swarm, Sichuan, China: spatial distribution and tectonic significance. *Landslides*, 20(10), 2155–2169. <https://doi.org/10.1007/s10346-023-02080-0>
28. Chini, M., Pelich, R., Puvirenti, L., Pierdicca, N., Hostache, R., & Matgen, P. (2019). Sentinel-1 InSAR Coherence to Detect Floodwater in Urban Areas: Houston and Hurricane Harvey as a Test Case, *Remote Sens*, 11, 107. <http://dx.doi.org/10.3390/rs11020107>
29. Du, W., Wu, K., Fu, X., Sheng, Q., Chen, J., & Wang, X. 2023 Failure history, mechanism, and recent run-out reproduction of the Xinhua Village landslide triggered by the 2022 Ms 6.1 Lushan earthquake. *Landslides*, 20, 2675–2693. <https://doi.org/10.1007/s10346-023-02148-x>
30. El Jazouli, A., Barakat, A., & Khellouk, R. (2019). GIS-multicriteria evaluation using AHP for landslide susceptibility mapping in oum Er high basin (Morocco). *Geoenviromental Disasters*, 6 (3), 1-12. <https://geoenvironmental-disasters.springeropen.com/articles/10.1186/s40677-019-0119-7>
31. Fan, Y., & Ma, S. (2024). Integrating fuzzy analytic hierarchy process into ecosystem service-based spatial planning: A case study of the Shenyang metropolitan area, China. *Ecological Informatics*, 81. <https://doi.org/10.1016/j.ecoinf.2024.102625>
32. Ganjaeian, H., Rezaei Arefi, M., Peysooz, T., & Emami, K. (2021). Zonning susceptible areas of landslide using WLC and OWA methods -A case study in Mountain cliff Khan, Iran. *Sustainable Earth Trends*, 1(2), 35-43. <https://doi.org/10.52547/sustainearth.1.2.43>
33. He, X., Xu, C., Qi, W., & Huang, Y. (2024). Contrasting landslides distribution patterns and seismic rupture processes of 2014 Jinggu and Ludian earthquakes, China. *Sci Rep*, 14. <https://doi.org/10.1038/s41598-024-79682>
34. Herryal, Z. A., Yustingrum, E., Andriana, N., Sagala, A., & Anggun, M.S. (2017). Measuring Community Resilience to Natural Hazards: Case Study of Yogyakarta Province. *Disaster Risk Reduction in Indonesia*, 609-633. http://dx.doi.org/10.1007/978-3-319-54466-3_25
35. Khattak, M. S., Anwar, F., Usman Saeed, T., Sharif, M., Sheraz, K., & Ahmed, A. (2016). Floodplain Mapping Using HEC-RAS and ArcGIS: A Case Study of Kabul River. *Civil engineering*, 40, 1375-1390. <http://dx.doi.org/10.1007/s13369-015-1915-3>
36. Kimura, H., & Yamaguchi, Y. (2000). Detection of landslide Areas Using Satellite Radar Interferometry. *Photogrammetric Engineering & Remote Sensing*, 66 (3), 337-344. <https://www.researchgate.net/publication/264004819>
37. Klai, A., Haddad, R., Bouzid, M.K., & Rabia, M.C. (2020). Landslide susceptibility mapping by fuzzy gamma operator and GIS, a case study of a section of the national road n°11 linking Mateur to Béja (Nortshern Tunisia). *Arabian Journal of Geosciences*, 13(58). <https://doi.org/10.1007/s12517-019-5029-1>
38. Ksantini, F., Sdiri, A., Aydi, A., Almeida-Naunay, A.F., Achour, H., & Tarquis, A.M. (2025). A comparative study based on AHP and fuzzy logic approaches for landslide susceptibility zoning using a GIS-based multi-criteria decision analysis. *Euro-Mediterr J Environ Integr*, 10, 649–668. <https://doi.org/10.1007/s41207-024-00552-w>
39. Kumar, S., Midya, K., Ghosh, S., Kumar, P., & Mishra, V.N. (2025). Land use change analysis and prediction of urban growth using multi-layer perceptron neural network Markov chain model in Faridabad- A data-scarce region of Northwestern India. *Physics and Chemistry of the Earth, Parts A/B/C*, 138. <https://doi.org/10.1016/j.pce.2025.103884>
40. Lee. M.j. (2015). Analysis on the flood vulnerability in the Seoul and Busan metropolitan area, Korea using spatial database, *EGU General Assembly*, 17 (1). <https://ui.adsabs.harvard.edu/abs/2015EGUGA..17.4667L/abstract>
41. Oliveira, C.S., Roca, A., & Goula, X. (2006). Assessing and managing earthquake risk: Geo-scientific and Engineering Knowledge for Earthquake Risk Mitigation: developments, tools, techniques. *Springer*. http://dx.doi.org/10.1007/978-1-4020-3608-8_1
42. Peng, Y. (2012). Regional earthquake vulnerability assessment using a combination of MCDM methods. *Ann Oper Res*. <http://dx.doi.org/10.1007/s10479-012-1253-8>
43. Qi, S., Hu, S., & Cao, S. (2024). Spatial and temporal changes of social vulnerability of cities to natural hazards in Zhejiang province, China. *Heliyon*, 10(6). <https://doi.org/10.1016/j.heliyon.2024.e27120>
44. Tian, H., Chang, C., Bo, J., Sun, X., Feng, F., Dai, T., Zhou, W., Li, H., & Gu, J. (2024). Research on the three-dimensional spatio-temporal dynamic evolution and kinematic characteristics of loess landslides induced by strong earthquakes. *Bull Eng Geol Environ*, 83, 230. <https://doi.org/10.1007/s10064-024-03736-4>
45. Wang W., Zhang W., & Xia Q. (2012). Landslide Risk Zoning Based on Contribution Rate Weight Stack Method. International Conference on Future Energy, Environment, and Materials. <http://dx.doi.org/10.1016/j.egypro.2012.01.030>

